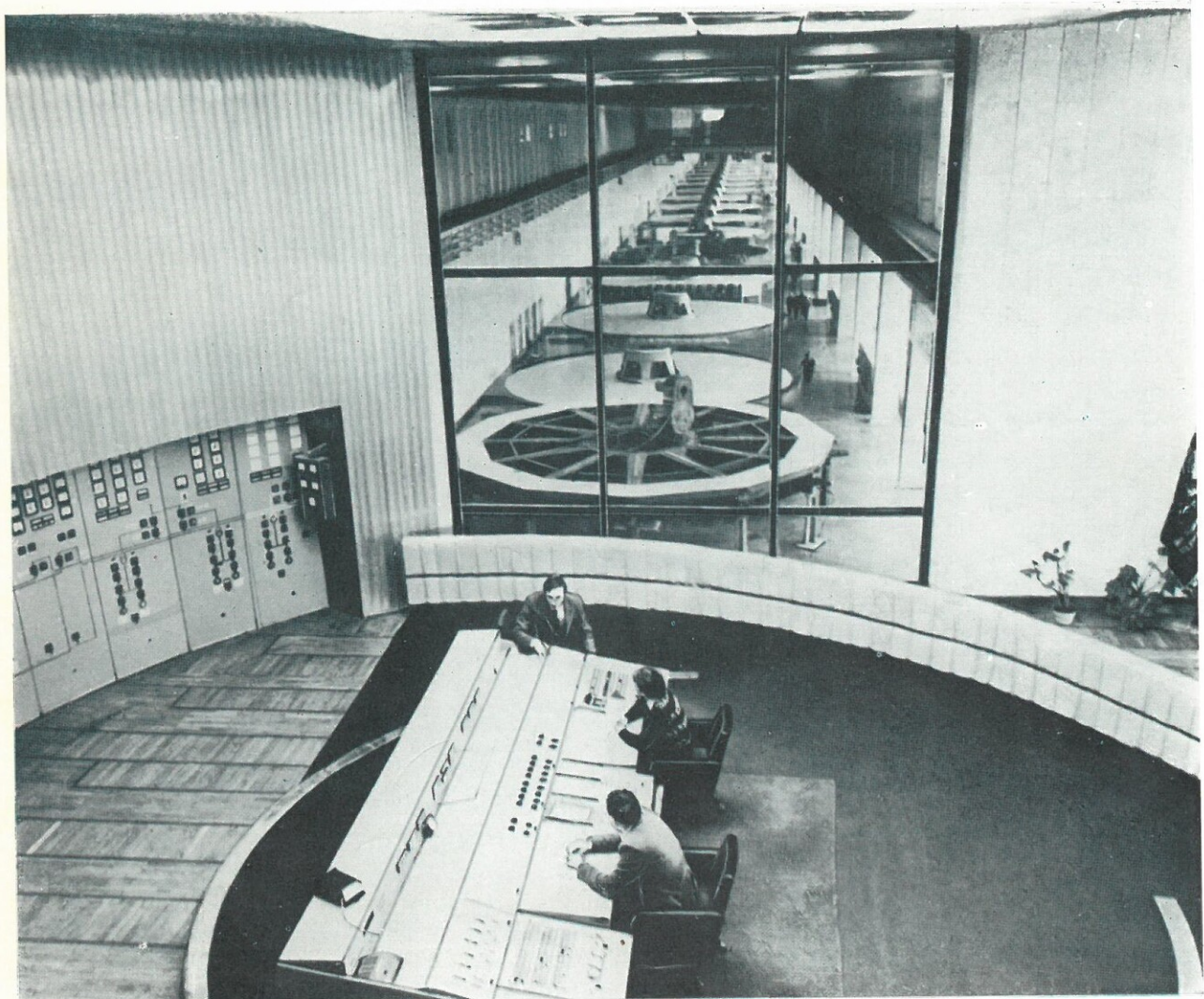




ЭЛЕКТРИЧЕСКИЕ СТАНЦИИ



2

• ЭНЕРГОАТОМИЗДАТ • 1986

ОРГАН МИНИСТЕРСТВА ЭНЕРГЕТИКИ
И ЭЛЕКТРИФИКАЦИИ СССР
И ЦЕНТРАЛЬНОГО ПРАВЛЕНИЯ
НАУЧНО-ТЕХНИЧЕСКОГО ОБЩЕСТВА ЭНЕРГЕТИКИ
И ЭЛЕКТРОТЕХНИЧЕСКОЙ ПРОМЫШЛЕННОСТИ
ИМЕНИ АКАДЕМИКА Г. М. КРЖИЖАНОВСКОГО
ЕЖЕМЕСЯЧНЫЙ ПРОИЗВОДСТВЕННО-ТЕХНИЧЕСКИЙ ЖУРНАЛ

ЭЛЕКТРИЧЕСКИЕ СТАНЦИИ

ОСНОВАН В 1930 ГОДУ

МОСКВА

ЭНЕРГОАТОМИЗДАТ

ФЕВРАЛЬ

2 1986

СОДЕРЖАНИЕ

СОВЕРШЕНСТВОВАНИЕ СТРУКТУРЫ УПРАВЛЕНИЯ

Ильин В. Н., Фианцев В. С. — Основные положения по разработке и регламентированию системы управления энергопроизводством

ЭКОНОМИКА ЭНЕРГЕТИКИ

Шабалин Е. М., Дмитриев В. Б., Акашев Р. Д. — Повышение эффективности формирования и использования единого фонда развития науки и техники в электроэнергетике

АТОМНЫЕ ЭЛЕКТРОСТАНЦИИ

Павлов О. Н., Реуков Ю. Н. — Динамические характеристики парогенератора энергоблока с реактором ВВЭР-1000 как объекта регулирования уровня

ТЕПЛОВЫЕ ЭЛЕКТРОСТАНЦИИ

2 Даюк А. И., Саанибасова Л. А., Фартыгин А. А., Курбатов М. П. — Снижение золового износа конвективных поверхностей нагрева котлов, сжигающих высокосульфатные угля

5 Шульгин Е. С., Пахутов А. А., Жуйков А. В. — Стабилизация эффективности золоулавливания

6 Лисеев И. Д., Кокарева Л. Р., Kovчегина Т. В. — Температурные и тепловые неравномерности в элементах поверхностей нагрева водогрейных котлов

0 Плисский Г. И., Чистый А. Н., Решетняк Л. И. — Химическая очистка котла среднего давления от сложных эксплуатационных отложений

2 Рождественский С. С., Павлов И. И., Сорокин В. А., Зайцев А. Ю. — Долговечность и надежность водогрейных котлов, работающих на высокосернистом мазуте

6 Бонесик В. А., Вольнский М. М., Дробь Д. Я., Мережко В. П., Шешеловский М. Л. — Повышение эффективности реконструированных конденсационных турбин

8 Агапов А. П., Богомоловый Д. С., Карав А. Н., Носихин В. Л. — О работе регуляторов безопасности паровых турбин

0 Флос С. Л., Желязетдинова В. К. — Методика расчета поправок к характеристикам теплофизико-механических турбогенераторов на изменение режима работы ПВД

4 Кулик В. Ф., Завидин А. П. — Диагностика проточной части питательных насосов сверхкритического давления

5 Баулина А. И., Романова О. А., Масютина И. И., Ежунов В. Е. — Коагуляция воды оксихлоридом алюминия

8 Васильев В. П., Цирульников Л. М., Абдуллаев Ш. А., Ерценкин О. Г., Кричман Р. Д., Блинцов А. В. — Сокращение выброса окислов азота путем зонального вспрыска влаги в топки котлов

ГИДРОЭЛЕКТРОСТАНЦИИ

0 Альтерман Д. З., Макаров Б. Н. — Эксплуатация ГЭС при отключен-

ном уравнительном резервуаре с использованием программного закрытия турбин

ЭЛЕКТРИЧЕСКИЕ МАШИНЫ

44 Брюханов Г. А., Князев С. А. — Метод и устройство для диагностики состояния роторных обмоток асинхронных электродвигателей

РАСПРЕДЕЛИТЕЛЬНЫЕ УСТРОЙСТВА

46 Долин А. П. — Определение термической стойкости шин из различных алюминиевых сплавов

ЛИНИИ ЭЛЕКТРОПЕРЕДАЧИ

49 Калюжный А. А., Левинштейн М. Л. — Неполнофазные режимы линий электропередачи высокого напряжения

ВОПРОСЫ ИЗОЛЯЦИИ

54 Беляков Н. Н., Казачкова Е. И., Рашикес В. С., Хоцеян К. В., Шур С. С. — Эффективность применения ограничителя перенапряжений на шунтирующих реакторах 750 кВ

57 Давыдова Л. И., Мерхалев С. Д., Прокскуриков А. И. — Лабораторные исследования разрушения стеклянных изоляторов

60 Морозов А. И., Свия П. М. — Особенности измерения емкости и диэлектрических потерь изоляции при рабочем напряжении

ОБМЕН ПРОИЗВОДСТВЕННЫМ ОПЫТОМ

63 Фильшинская Э. П., Исанбекова Э. Г., Захаров Ю. В. — Определение и прогнозирование располагаемой мощности тепловых электростанций

66 Федотов А. А., Штромберг Ю. Ю., Веретеников О. К., Смирнов А. Ф., Баранов Н. А., Абатуров В. Ф., Орлик А. В. — Повышение ресурса работы бил углеразмольных молотковых мельниц

68 Сальников Г. К., Колычен А. Ф., Пантелеев В. Г., Трофимов В. Н., Жолнерович В. Г., Глебов А. И. — Реконструкция золоотвалов ТЭС

70 Рогожкин В. В., Москвин А. И., Иванов В. И., Минулин Р. С., Рапопорт В. Е., Паршуков В. С. — Металлоулавливание в системах пылеприготовления

72 Звидин А. П. — Расчет на ЭВМ оптимальных режимов работы конденсационной установки турбины К-300-240 ХТГЗ

73 Боркин М. А. — Ремонт и наладка электронных усилителей УДП2-03

75 Мысчин Д. А. — Определение зоны защиты молниеотводов с помощью программируемого микрокалькулятора

В ГОСИНСПЕКЦИИ ПО ЭКСПЛУАТАЦИИ ЭЛЕКТРОСТАНЦИЙ И СЕТЕЙ

76 Сергеев А. Н. — Всесоюзное совещание «О дальнейшем повышении надежности и снижении аварийности на электростанциях, в сетях и энергосистемах»

79 Борисов Е. И. (К 70-летию со дня рождения)

На обложке — Усть-Илимская ГЭС. Главный щит управления.

РАСПРЕДЕЛИТЕЛЬНЫЕ УСТРОЙСТВА

УДК 621.316.35.016.001.24

ОПРЕДЕЛЕНИЕ ТЕРМИЧЕСКОЙ СТОЙКОСТИ ШИН ИЗ РАЗЛИЧНЫХ АЛЮМИНИЕВЫХ СПЛАВОВ

Долин А. П., канд. техн. наук

Московский энергетический институт

В соответствии с ПУЭ проводники считаются термически стойкими, если выполняется следующее неравенство

$$\Phi_k \leq \Phi_{\text{доп}}$$

где Φ_k — конечная температура нагрева; $\Phi_{\text{доп}}$ — допускаемая температура нагрева шин при КЗ.

В нормативных документах [1, 2], литературе по электроэнергетике [3, 4], как правило, приводятся расчетные коэффициенты и кривые для определения температуры нагрева шин из алюминия, меди и стали. Для указанных материалов ПУЭ устанавливает допускаемые температуры нагрева, например для алюминиевых шин

$$\Phi_{\text{доп}} = 200^\circ\text{C}$$

Вместе с тем, кроме технического алюминия (марки АД0) широкое распространение получили шины из алюминиевого сплава АД31, обладающего большей механической прочностью. В последние годы для изготовления жестких шин ОРУ напряжением 110 кВ и выше стали использовать высокопрочные алюминиевые сплавы АВ, 1915 и др. Физико-механические характеристики алюминиевых сплавов и технического алюминия могут существенно отличаться. Например, с увеличением прочности алюминиевых сплавов, как правило, возрастает электрическое сопротивление. Поэтому расчетные кривые и коэффициенты для определения конечной температуры нагрева, а также допускаемая при КЗ температура шин требуют дополнительного обоснования и уточнения.

Для изготовления шин в отечественной и зарубежной практике используют деформируемые алюминиевые сплавы, которые по химическому составу относятся к трем системам легирования: технический алюминий Al (например, АД0, АД1, АД), сплавы алюминий-магниево-кремневой группы Al — Mg — Si (АД31, АД33, АД35, АВ) и алюминий-цинк-магниевой группы Al — Zn — Mg (1911, 1915, 1925). В редких случаях находят применение сплавы алюминий-магний-марганцевой группы Al — Mg — Mn (например, АМг5).

Физические свойства материалов шин зависят не только от группы легирования и марки сплава, но и от технологии производства (прокатки, литья, прессовки, штамповки) и способа термической обработки [5—7]. Наиболее распространенный способ получения профилей шин — прессование и прокатка. Вид термической обработки полуфабрикатов из алюминиевых сплавов указывается в буквенно-цифровой маркировке, добавляемой к основному обозначению сплава: М — отожженные, Н — нагартованные, Т — закаленные и естественно состаренные, Т1 — закаленные и искусственно состаренные и др.

Следует отметить, что физико-механические свойства сплавов могут изменяться в пределах марочного состава, а также при незначительных (допустимых) изменениях технологии производства полуфабрикатов [5].

Поэтому параметры сплавов, указанные в технических условиях, могут отличаться от типичных свойств. Типичные свойства являются математическими ожиданиями параметров, полученных для совокупности образцов, изготовленных из сплавов разного состава в пределах марки по серийной технологии. Например, в соответствии с техническими условиями временное сопротивление разрыву сплава АД31Т1 равно 196,2 МПа, а типичная прочность 240 МПа [7]. Согласно ГОСТ 15175-70 удельное сопротивление шин из этого сплава устанавливается не более $0,0325 \cdot 10^{-6} \Omega \cdot \text{м}$, а типичное удельное сопротивление сплава 0,0310 $\cdot 10^{-6} \Omega \cdot \text{м}$ [5] и т. д.

Предельно допускаемая температура нагрева шин при КЗ устанавливается с учетом снижения механической прочности проводникового материала. На рис. 1 приведены зависимости типичных временных сопротивлений разрыву алюминиевых сплавов (указанных в табл. 1) от температуры, построенные по данным [5, 6]. В табл. 1 приводятся также отношения временных сопротивлений разрыву при повышенной температуре $\sigma_{\text{в20}}$ к сопротивлению разрыву при нормальной температуре $\sigma_{\text{в20}}$. Для большинства сплавов, применяемых для изготовления шин (в том числе для отожженного технического алюминия), отношение $\sigma_{\text{в20}}$ при допускаемой температуре шин 200 °C к $\sigma_{\text{в20}}$ составляет более 0,5. Только для нагартованного алюминия (редко применяемого для изготовления шин) это отношение не превышает 0,3. Отношения $\sigma_{\text{в20}}/\sigma_{\text{в20}}$ при температуре больше 200 °C для рассматриваемых алюминиевых сплавов остаются выше, чем для отожженного алюминия.

Таким образом, для шин из закаленных алюминиевых сплавов систем легирования Al — Mg — Si и Al — Zn — Mg, а также для отожженных сплавов Al — Mg — Mn группа допускаемая температура нагрева при КЗ оправдана принять равной 200 °C, т. е. такой же, как для технического алюминия. Однако для нагартованного алюминия $\Phi_{\text{доп}}$ по-видимому, целесообразно снизить до 175 °C.

Изменение временного сопротивления разрыву от температуры может повлиять на снижение электродинамической стойкости ошиновки. Например, у конструкций напряжением 110 кВ и выше с низкой частотой собственных колебаний [8] амплитуды механических напряжений могут оставаться близкими к наибольшим значениям, когда температура шин достигает 150—200 °C. В этих случаях расчет термической стойкости ошиновки оправдано проводить совместно с оценкой

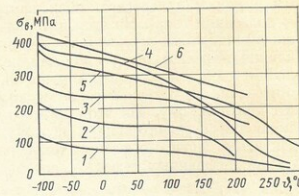


Рис. 1

электродинамической стойкости, учитывая снижение $\sigma_{\text{в}}$ при нагреве.

Для практических расчетов термической стойкости шин обычно используют кривые зависимости температуры их нагрева при КЗ от удельного интеграла Джоуля $A = B/s^2$ (B — интеграл Джоуля; s — площадь поперечного сечения шины). Одни из первых расчетных кривых были опубликованы в 20-х годах И. Бирманом. Позднее для отечественных сплавов они были рассчитаны С. А. Гелионским и вошли в Руководящие указания [1]. До настоящего времени эти кривые практически не претерпели изменений [4]. (Ряд авторов в различные годы проводил уточнения кривых $\vartheta = f(A)$ при иных параметрах технического алюминия и меди, чем принято в [1], но они незначительно отличались от кривых С. А. Гелионского и не получили широкого распространения.) Вместе с тем, как показали проведенные исследования, кривые в [1] для технического алюминия дают значительные погрешности при расчете температуры нагрева шин из алюминиевых сплавов других систем легирования.

Для сплавов, указанных в табл. 2, были проведены расчеты зависимости $\vartheta = f(A)$. В качестве исходного использовалось известное уравнение теплового баланса для адабатического процесса

$$i^2 R \vartheta dt = c_{\text{ф}} m d\vartheta, \quad (2)$$

где i — ток КЗ, А; $R_{\text{ф}}$ — сопротивление проводника при температуре ϑ , °C; m — масса шины, кг; $c_{\text{ф}}$ — удельная теплоемкость;

Таблица 1

Система легирования	Кривая на рис. 1	Марка сплава и состояние поставки	Полуфабрикаты	$\sigma_{\text{в20}}/\sigma_{\text{в20}}$ при ϑ , °C			
				150	200	250	300
Al	1	АД0, АД0М	Катаные	0,750	0,525	0,350	0,225
	2	АД1Н	»	0,733	0,280	0,186	0,120
	3	АД31Т1	Прессованные	0,708	0,625	0,458	—
	4	АД33Т1	»	0,875	0,542	0,208	0,125
	5	АД35Т1	»	0,774	0,645	—	0,290
	6	АБТ1	»	0,788	0,667	0,424	—
Al-Zn-Mg	4	1915Т	Катаные	0,616	0,500	—	—
	5	1915Т1	»	0,778	0,694	—	—
	6	1915Т1	Прессованные	0,750	—	—	—
	7	АМг4М	Катаные	0,785	0,607	0,500	0,393
	8	АМг5М	»	0,767	0,600	0,467	—
	9	АМг6М	»	0,781	0,590	0,500	0,406

Таблица 2

Система легирования	Кривая на рис. 2	Марка сплава и состояние поставки	$C_{\text{т}}, \text{A} \cdot \text{с}^{1/2}/\text{м}^2$	$\rho, 10^{-6} \Omega \cdot \text{м}$	$\delta, \text{кг}/(\text{кг} \cdot \text{K})$	$\vartheta, 1/\text{°C}$	
						B	ϑ_n
Al	1	АД0	90	0,029	2710	924	0,00053
	2	АД0М	92	0,029	2710	924	0,00053
	3	АД1М	90	0,030	2710	924	0,00053
	4	АД1Н	85	0,0325	2710	924	0,00053
	5	АД31Т1	82	0,035	2710	924	0,00050
	6	АД33Т1	77	0,040	2700	920	0,00095
Al-Mg-Si	7	АД35Т1	74	0,043	2700	920	0,00095
	8	АБТ1	73	0,038	2700	797	0,00116
	9	АВТ1	71	0,041	2700	797	0,00116
	10	АМг4М	66	0,0517	2770	880	0,00051
Al-Zn-Mg	11	АМг5М	63	0,059	2650	922	0,00092
	12	АМг6М	60	0,061	2650	922	0,00092
Al-Mg-Mn	13	АМг6М	63	0,059	2650	922	0,00092
	14	АМг7М	60	0,061	2650	922	0,00092

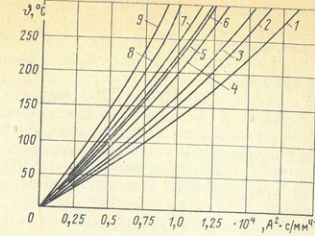


Рис. 2

Дж/(кг · К); $m = \delta l s$ — масса шины, кг; δ — плотность штамповки, $\text{кг}/\text{м}^3$; l — длина шины, м; s — площадь ее поперечного сечения, м^2 .

Уравнение (2) не учитывает теплоотдачу в окружающую среду, распределение плотности тока по сечению проводника в переходном режиме, неравномерность нагрева шины, теплопередачу между точками шины с различной температурой нагрева. Эти допущения общеприняты при инженерных расчетах термической стойкости ошиновки. Неравномерность распределения плотности тока приближенно можно учесть с помощью коэффициента добавочных потерь k_d . При продолжительности КЗ много большей постоянной времени затухания апериодической составляющей тока КЗ коэффициент k_d в переходном режиме приближенно можно принять равным коэффициенту добавочных потерь в установившемся режиме.

Сопротивление проводника

$$R_{\text{ф}} = k_d \vartheta / s,$$

где $\vartheta_{\text{ф}}$ — удельное сопротивление, $\Omega \cdot \text{м}$.

Удельное сопротивление и удельная теплоемкость обычно принимаются линейно зависимыми от температуры, т. е.

$$\rho_{\text{ф}} = \rho_0 (1 + \alpha \vartheta);$$

$$c_{\text{ф}} = c_0 (1 + \beta \vartheta),$$

где α и β — температурные коэффициенты сопротивления и теплоемкости, $1/\text{°C}$; ρ_0 и c_0 — удельные электрическое сопротивление и теплоемкость при температуре 0 °C.

Решение уравнения (2) дано, например, в [4]. После преобразований с учетом коэффициента добавочных потерь оно приводится к виду

$$k_d \frac{B}{s^2} = A(\vartheta_{\text{ф}}) - A(\vartheta_n), \quad (3)$$

где

$$A(\vartheta) = \frac{\delta c_0}{\rho_0} \left[\frac{\alpha - \beta}{\alpha^2} \ln(1 + \alpha \vartheta) + \frac{\beta}{\alpha \vartheta} \right]; \quad (4)$$

ϑ_n и $\vartheta_{\text{ф}}$ — конечная и начальная температура шины при КЗ.

Функции A для различных сплавов вычислялись на ЭВМ. Результаты расчетов в виде зависимостей температуры ϑ от параметра A приведены на рис. 2. Физические характеристики сплавов, принятые в расчетах, даны в табл. 2. В основном они отвечают типичным свойствам материалов [5—7], за исключением удельных электрических сопротивлений сплавов АД31Т и АД31Т1, которые приняты равными наибольшим допускаемым зна-

чениям (в соответствии с ГОСТ 15157-70). Кроме того, для сплава 1915T удельное электрическое сопротивление, изменяющееся (в пределах марочного состава) от $0,0485 \cdot 10^{-6}$ до $0,0517 \cdot 10^{-6} \Omega \cdot \text{м}$ [5], считалось равным наибольшему значению.

Кривая I на рис. 2 для сплава АДО практически совпадает с кривой С. А. Геликонского для алюминия [1]. Полученные результаты показывают, что расчетные конечные температуры при КЗ шин из алюминия и, например сплава 1915T, отличаются более чем на 150 %. Таким образом, кривую I (рис. 2) можно использовать для расчета термической стойкости в соответствии с уравнением (3) только для шин из технического алюминия; для сплавов других систем легирования расчет приводит к значительной погрешности.

Все кривые на рис. 2 построены при температурных коэффициентах электрических сопротивлений, равных $0,004 (\text{ }^{\circ}\text{C})^{-1}$. Это значение характерно для чистого алюминия. Для алюминиевых сплавов значения α обычно составляют $0,0036 \dots 0,0044 (\text{ }^{\circ}\text{C})^{-1}$. При вариациях коэффициентов в пределах $0,004 \pm 0,0004 (\text{ }^{\circ}\text{C})^{-1}$ функции $A(\vartheta)$ изменяются примерно на $1,5 \dots 2 \%$.

Также незначительно влияют на параметры A изменения температурных коэффициентов теплопроводности β . Если принять β равными $0,00053 (\text{ }^{\circ}\text{C})^{-1}$ (как для технического алюминия), то значения $A(\vartheta)$ отличаются от кривых рис. 2 максимум на $1,2 \%$.

Таким образом, инженерных расчетах термической стойкости шин коэффициенты α и β для алюминиевых сплавов вполне допустимо принимать одинаковыми.

Следовательно, в соответствии с выражением (4)

$$\frac{A(\vartheta)}{A_{\text{Al}}(\vartheta)} \approx \frac{\delta c_0}{\rho_0 \xi_0} \approx \frac{\delta c_{100}}{\rho_{20} \xi_0}, \quad (5)$$

где $A(\vartheta)$ и $A_{\text{Al}}(\vartheta)$ — значения функций A при температуре ϑ для сплава и технического алюминия; δ — плотность сплава, kg/m^3 ; c_0 и c_{100} — удельные теплоемкости сплава при 0 и $100 \text{ }^{\circ}\text{C}$, $\text{Дж}/(\text{кг} \cdot \text{К})$; ρ_0 и ρ_{20} — удельные электрические сопротивления сплава при 0 и $20 \text{ }^{\circ}\text{C}$, $\text{Ом} \cdot \text{м}$; ξ_0 и ξ_{20} — параметры сплава АДО

$$\xi_0 = \delta_{\text{Al}} c_{\text{Al}_0} / \rho_{\text{Al}_0} = \frac{2710 \cdot 877}{0,0269 \cdot 10^{-6}} =$$

$$= 88,35 \cdot 10^{12} \text{ Дж}/(\text{м}^4 \cdot \text{Ом} \cdot \text{К});$$

$$\xi = \delta_{\text{Al}} c_{\text{Al}_{100}} / \rho_{\text{Al}_{20}} = \frac{2710 \cdot 924}{0,029 \cdot 10^{-6}} =$$

$$= 86,35 \cdot 10^{12} \text{ Дж}/(\text{м}^4 \cdot \text{Ом} \cdot \text{К}).$$

Согласно выражениям (3) и (5) получим:

$$k_d = \frac{B}{s^2} \xi \frac{\rho_{20}}{\delta c_{100}} \approx A_{\text{Al}}(\vartheta_k) - A_{\text{Al}}(\vartheta_n). \quad (6)$$

Последнее уравнение удобно использовать для расчетов конечной температуры шин из алюминиевых сплавов, для которых не построены кривые $A(\vartheta)$.

В результате расчетов для различных алюминиевых сплавов были определены параметры C_t минимальных сечений шин по условию термической стойкости

$$C_t = \sqrt{A(\vartheta_{\text{доп}}) - A(\vartheta_{\text{дл. доп}})},$$

где $\vartheta_{\text{доп}} = 200 \text{ }^{\circ}\text{C}$ — допускаемая температура нагрева шин из алюминиевых сплавов при КЗ; $\vartheta_{\text{дл. доп}} = 70 \text{ }^{\circ}\text{C}$ — начальная температура, равная длительно допускаемой температуре шин по условиям рабочего режима.

Минимальное сечение шин по условию термической стойкости

$$s_t = \frac{\sqrt{k_d B}}{C_t}. \quad (7)$$

Расчетные значения параметров C_t приведены в табл. 2.

Пример. Определить термическую стойкость трубчатых шин с наружным диаметром $D = 70 \text{ mm}$ и внутренним $d = 65 \text{ mm}$ из алюминиевого сплава 1915T. Действующее значение периодической составляющей тока КЗ $I_{\text{н}} = 40 \text{ kA}$; постоянная времени затухания апериодической составляющей тока $T_a = 0,1 \text{ s}$; продолжительность КЗ $t_{\text{откл}} = 0,5 \text{ s}$. Начальная температура шины $70 \text{ }^{\circ}\text{C}$.

В соответствии с [2] интеграл Джоуля

$$B \approx I_{\text{н}}^2 (t_{\text{откл}} + T_a) = 40^2 (0,5 + 0,1) = 960 \text{ kA}^2 \cdot \text{s}.$$

Коэффициент добавочных потерь k_d для кольцевых шин диаметром 70/65 mm практически равен 1 [3].

Сечение шины

$$s = \frac{\pi (D^4 - d^4)}{4} = 530 \text{ mm}^2.$$

По кривой 8 (рис. 2) для $\vartheta_n = 70 \text{ }^{\circ}\text{C}$ находим $A(\vartheta_n) = 0,3 \cdot 10^4 \text{ A}^2 \cdot \text{с}/\text{мм}^4$. В соответствии с уравнением (3)

$$A(\vartheta_k) = A(\vartheta_n) + k_d \frac{B}{s^2} = 0,3 \cdot 10^4 + 1 \cdot 960 \cdot 10^6 / 530^2 = \\ = 0,64 \cdot 10^4 \text{ A}^2 \cdot \text{с}/\text{мм}^4.$$

Для вычисленного значения $A(\vartheta_k)$ по кривой 8 находим $\vartheta_k = 149 \text{ }^{\circ}\text{C}$. Так как $\vartheta_k < \vartheta_{\text{доп}} = 200 \text{ }^{\circ}\text{C}$, шины термически стойкие.

Такой же результат получим, если воспользуемся для определения температуры нагрева шин уравнением (6). Для этого предварительно определим по кривой I (рис. 2) параметр $A_{\text{Al}}(\vartheta_n) = 0,6 \cdot 10^4 \text{ A}^2 \cdot \text{с}/\text{мм}^4$. Согласно уравнению (6)

$$A_{\text{Al}}(\vartheta_n) = A'_{\text{Al}}(\vartheta_n) + k_d \frac{B}{s^2} \xi \frac{\rho_{20}}{\delta c_{100}} = 0,6 \cdot 10^4 + 1 \times \\ \times \frac{960 \cdot 10^6}{530^2} \cdot 86,35 \cdot 10^{12} \frac{0,0517 \cdot 10^{-6}}{2770 \cdot 880} = 1 \cdot 23 \cdot 10^4 \text{ A}^2 \cdot \text{с}/\text{мм}^4.$$

Затем по кривой I находим конечную температуру шины, примерно равную $149 \text{ }^{\circ}\text{C}$.

Минимальное сечение шины из сплава 1915T по условию термической стойкости согласно выражению (7)

$$s_t = \frac{\sqrt{960 \cdot 10^6}}{68,7} = 451 \text{ mm}^2.$$

Согласно выражениям (3) и (5) получим:

$$k_d = \frac{B}{s^2} \xi \frac{\rho_{20}}{\delta c_{100}} \approx A_{\text{Al}}(\vartheta_k) - A_{\text{Al}}(\vartheta_n). \quad (6)$$

Список литературы

1. Руководящие указания по расчету токов короткого замыкания и выбору по режиму короткого замыкания аппаратуры и проводников в электрических установках высокого напряжения. М. — Л.: Госэнергоиздат, 1944.
2. Руководящие указания по расчету коротких замыканий, выбору и проверке аппаратов и проводников по условиям короткого замыкания. М.: МЭИ, 1975.
3. Электрическая часть станций и подстанций/Под ред. А. А. Васильева. М.: Энергия, 1980.
4. Некрасов Б. Н. Электрическая часть электростанций. М.: Энергия, 1976.
5. Справочник по алюминиевым сплавам/Под ред. В. И. Елагина. М.: ВИЛС, 1978.
6. Структура и свойства полуфабрикатов из алюминиевых сплавов/Арганов З. Н., Балахонец Г. А., Басова И. Г. и др. М.: Металлургия, 1984.
7. Промышленные алюминиевые сплавы/Алиева С. Г., Альтман М. Б., Амбарцумян С. М. и др. М.: Металлургия, 1984.
8. Курдяев Е. П., Долин А. П. Расчет жесткой ошиновки распределительных устройств. М.: Энергия, 1981.

Последнее уравнение удобно использовать для расчетов конечной температуры шин из алюминиевых сплавов, для которых не построены кривые $A(\vartheta)$.

В результате расчетов для различных алюминиевых сплавов были определены параметры C_t минимальных сечений шин по условию термической стойкости

$$C_t = \sqrt{A(\vartheta_{\text{доп}}) - A(\vartheta_{\text{дл. доп}})}, \quad (1)$$

где $\vartheta_{\text{доп}} = 200 \text{ }^{\circ}\text{C}$ — допускаемая температура нагрева шин из алюминиевых сплавов при КЗ; $\vartheta_{\text{дл. доп}} = 70 \text{ }^{\circ}\text{C}$ — начальная температура, равная длительно допускаемой температуре шин по условиям рабочего режима.

ЛИНИИ ЭЛЕКТРОПЕРЕДАЧИ

УДК 621.215.1.004.6

НЕПОЛНОФАЗНЫЕ РЕЖИМЫ ЛИНИЙ ЭЛЕКТРОПЕРЕДАЧИ ВЫСКОГО НАПРЯЖЕНИЯ

Калюжный А. А., инж., Левинштейн М. Л., доктор техн. наук
Сибирский НИИ энергетики

обратной последовательности на шинах подстанций не- полнофазной линии также равны нулю.

Дополнительные источники тока обратной последовательности можно создать, коммутируя фазы реакторов [2, 3], где переключения фаз ШР не являются оптимальными.

Рассмотрим оптимальное использование ШР для компенсации токов обратной последовательности, которые обусловлены передачей мощности по двум фазам. Предлагаемая компенсация токов обратной последовательности в примыкающих присоединениях осуществляется при помощи реактивных проводимостей, подключенных к электропередаче по концам неполнофазной линии (рис. 1, a). Если на шинах подстанций неполнофазной линии имеются только соединяющие напряжения прямой последовательности U_n и U_k (справедливость этого допущения будет показана ниже), то токи обратной последовательности по концам неполнофазной линии $j_n^{(2)}$, $j_k^{(2)}$ запишутся следующим образом

$$j_n^{(2)} = \frac{i}{3} (BU_n \cos \delta - AU_k + jBU_n \sin \delta), \quad (2)$$

$$j_k^{(2)} = \frac{i}{3} (AU_n \cos \delta - BU_k + jAU_n \sin \delta), \quad (3)$$

где

$$A = \frac{3x_0}{x_1(x_1 + 2x_0)}, B = \frac{3x_0}{x_1(x_1 + 2x_0)} + \frac{b_0 - 4b_1}{3},$$

$$x_1 = Z_e \sin \lambda, x_0 = Z_{ce} \sin \lambda_0, b_1 = \frac{\operatorname{tg} \frac{\lambda}{2}}{Z_e}, b_0 = \frac{\operatorname{tg} \frac{\lambda_0}{2}}{Z_{ce}},$$

δ — угол между векторами напряжений U_n и U_k .

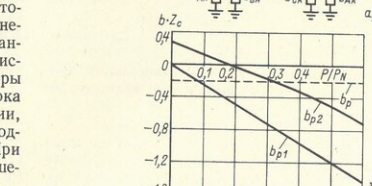
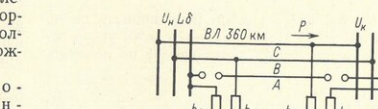
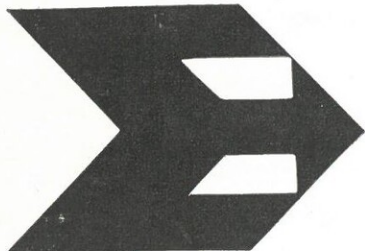
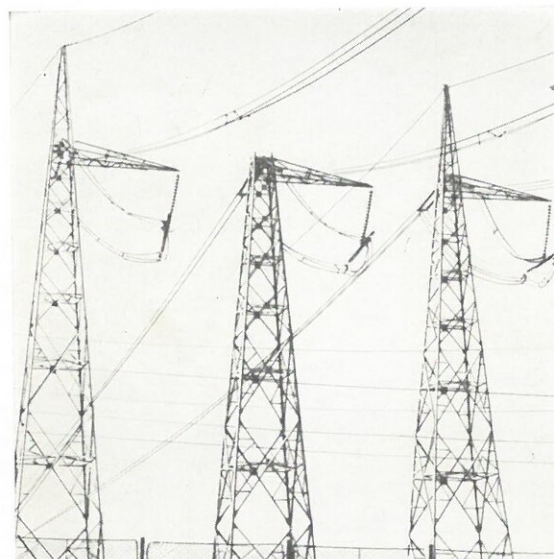


Рис. 1. Компенсация токов обратной последовательности, возникающих в электропередаче при отключении фазы A линии:
— схема участка ВЛ с компенсирующими реактивностями;
 δ — зависимость b_A и b_B от P ; $x_{1n} = 0,302 \text{ Ом}/\text{км}$; $b_{1n} = 799 \text{ Ом}/\text{км}$, $b_{0n} = 2,13 \times 10^{-6} \text{ 1}/(\text{Ом} \cdot \text{км})$; $x_{1k} = 283,7 \text{ Ом}$; $b_{0k} = 541 \text{ Ом}$, $\lambda = 21,96^{\circ}$, $\lambda_0 = 30,46^{\circ}$, $U_{ном} = 500 \text{ кВ}$, $P_N = 883 \text{ МВт}$; $b_p = -\frac{0,184}{Z_c}$

X



ENERGOIMPEX



- Импорт-экспорт угля, электроэнергии и других носителей энергии
- Поставка машин и оборудования для энергетики НРБ, стран — членов СЭВ и других стран
- Промышленное и торговое кооперирование в области энергетики
- Изыскания
- Проектирование
- Строительство
- Монтаж
- Эксплуатация
- Ремонт в гарантийный и внегарантийный сроки
- Электропроводы до 750 кВ и сети в населенных пунктах
- Постанции высокого, среднего и низкого напряжений
- Супервайзерская деятельность
- Консультации в области энергетики

Внешнеторговая организация «ЭНЕРГОИМПЕКС»
Болгария, 1000, София, почтовый ящик 801,
телефон: 518867, телекс: 22669,
телеграммы; Энергоимпекс
В/О «ВНЕШТОРГРЕКЛАМА»